



# S/N 对硫自养反硝化耦合厌氧氨氧化反应氮素转化的影响

李寓哲<sup>1,2</sup>, 顾晓丹<sup>1,2</sup>, 黄勇<sup>1,2,\*</sup>

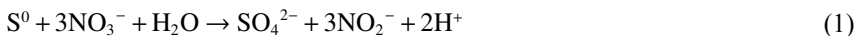
1. 苏州科技大学环境科学与工程学院, 苏州 215009; 2. 苏州科技大学环境生物研究所, 苏州 215009

**摘要**  $S^0$  基础自养反硝化耦合厌氧氨氧化 (sulfur autotrophic denitrification anammox,  $S^0$ ADN-Anammox) 工艺中普遍存在 S/N 较高问题, 从而造成  $S^0$  的浪费。为此, 通过批次实验, 在不考虑  $S^0$  流失条件下, 优化了以  $S^0$  为电子供体的系统中适宜的 S/N, 并通过底物控制策略, 模拟  $S^0$ ADN 前半程完全反应, 仅存在后半程与 Anammox 的系统环境, 讨论在不同  $S^0$  存在的情况下  $S^0$ ADN 后半程和 Anammox 对  $NO_2^-$ -N 的竞争能力。结果表明, 在不同的  $S^0$  投加量条件下,  $S^0$ ADN-Anammox 系统会表现出不同的脱氮性能, 当 S/N=1,  $S^0$ ADN-Anammox 系统总氮去除率较高, 达 89%, 其中  $NH_4^+$ -N 和  $NO_3^-$ -N 的去除率分别为 77% 和 100%; 当只存在  $NO_2^-$ -N 和  $NH_4^+$ -N 时,  $S^0$  质量浓度越高, Anammox 可获得的  $NO_2^-$ -N 越少,  $S^0$ ADN 后半程对  $NO_2^-$ -N 的竞争能力要强于 Anammox, 过高的 S/N 会影响  $NH_4^+$ -N 去除效果。

**关键词** 硫自养反硝化耦合厌氧氨氧化; S/N 的影响; 底物竞争关系

在全球倡导高效、低耗、可持续脱氮要求的背景下, 针对含氨氮 ( $NH_4^+$ -N)、硝酸盐 ( $NO_3^-$ -N) 工业废水 (光伏、化肥废水) 的脱氮处理受到人们的关注。目前, 含氮废水普遍采用传统硝化反硝化技术<sup>[1]</sup>, 但其具有高能耗和温室气体排放等问题, 背离了可持续发展的目标<sup>[2]</sup>。厌氧氨氧化 (anaerobic ammonium oxidation, Anammox) 技术因其低能耗、高效率的特点被视为目前最具潜力的生物脱氮技术<sup>[3-4]</sup>。Anammox 以  $NH_4^+$ -N 和亚硝酸盐 ( $NO_2^-$ -N) 作为底物, 在厌氧条件下生成  $N_2$  和少量  $NO_3^-$ -N。然而, 将 Anammox 应用于处理含  $NH_4^+$ -N 和  $NO_3^-$ -N 工业废水时仍受到限制。一方面, 在自然条件下  $NO_2^-$ -N 含量较低, 而  $NO_2^-$ -N 作为 Anammox 的必要底物之一, 通常需要通过其他方式提供足够的  $NO_2^-$ -N 以保证 Anammox 转化的需求。另一方面, 由于 Anammox 会产生一部分  $NO_3^-$ -N, 总氮去除率最高为 89%, 且废水中  $NH_4^+$ -N 浓度越高, Anammox 中出水  $NO_3^-$ -N 浓度也随之升高<sup>[5]</sup>。

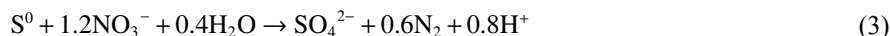
目前, 普遍采用部分反硝化 (partial denitrification, PD) 与 Anammox 耦合处理含  $NH_4^+$ -N 和  $NO_3^-$ -N 的废水<sup>[6-8]</sup>。WANG 等<sup>[9]</sup>研究表明, 硫自养反硝化 (sulfur autotrophic denitrification, SADN) 过程具有与 Anammox 耦合应用的优势。相较于其他形态的硫 ( $S^{2-}$  和  $SO_3^{2-}$ ), 单质硫 ( $S^0$ ) 作为 SADN 电子供体, 具有对微生物没有毒性、价格低廉、易于获取等优势。SUN 等<sup>[10]</sup>研究表明, 在  $NO_3^-$ -N 和  $NO_2^-$ -N 共存环境中,  $S^0$  倾向于选择  $NO_3^-$ -N 作为电子受体, 极易发生  $NO_2^-$ -N 积累, 为 Anammox 提供充足的底物, 有利于 SADN 和 Anammox 耦合。CHEN 等<sup>[11]</sup>以序批模式运行  $S^0$ ADN-Anammox 厌氧发酵罐, 总氮去除率高达 97%~98%。HUO 等<sup>[12]</sup>以 UASB 反应器运行  $S^0$ ADN-Anammox 耦合系统, 总氮去除率维持在 90%。 $S^0$ ADN 前半程、 $S^0$ ADN 后半程、 $S^0$ ADN 全程反应过程如式(1)~(3) 所示<sup>[13]</sup>。



收稿日期: 2024-01-25; 录用日期: 2024-06-12

基金项目: 国家自然科学基金重点资助项目(51938010)

第一作者: 李寓哲(1999—), 男, 硕士研究生, 研究方向为废水处理及资源化利用技术, 2300318556@qq.com \*通信作者: 黄勇(1958—), 男, 博士, 教授, 研究方向为废水生物处理及资源化利用等, yhuang@mail.usts.edu.cn



由于  $S^0$  溶解性较差, 目前以  $S^0$  为电子供体的研究中均采用较大的  $S^0$  与进水硝态氮的质量比 (S/N) 运行, 例如 CHEN 等<sup>[11]</sup> 以 S/N=2.1 投加  $S^0$ , HUO 等<sup>[12]</sup> 和 ZHANG 等<sup>[14]</sup> 的研究中采用 S/N=8~10。而在  $S^0$ -ADN-Anammox 耦合系统中, 理论上 S/N 仅需 0.762(式 (1)), 即可实现  $S^0$ -ADN 前半程的发生, 可为 Anammox 提供充足的  $NO_2^-$ -N 底物, 远小于现有研究<sup>[11]</sup> 中的 S/N。由此可见, 现有研究均以较高 S/N 投加  $S^0$ , 造成严重的  $S^0$  浪费。另一方面, CUI 等<sup>[15]</sup> 和 CHEN 等<sup>[16]</sup> 在研究以  $S^0$  作为电子供体的  $S^0$ -ADN 过程中发现,  $S^0$  对  $NO_3^-$ -N 的亲和力大于  $NO_2^-$ -N,  $NO_2^-$ -N 转化仅在  $NO_3^-$ -N 不存在的情况下发生。由于  $S^0$ -ADN 前半程反应速率较快,  $NO_3^-$ -N 全部转化为  $NO_2^-$ -N, 导致  $NH_4^+$ -N 和  $NO_2^-$ -N 共存, 此时是否会在  $S^0$ -ADN 后半程与 Anammox 对底物  $NO_2^-$ -N 的竞争关系, 若存在, 对耦合系统具有何种影响尚不明确。因此适宜的 S/N 对于  $S^0$ -ADN-Anammox 耦合系统的稳定运行至关重要, 目前针对此方向的研究很少。

本研究通过批次实验, 首先探讨了 S/N 对  $S^0$ -ADN-Anammox 耦合系统脱氮性能的影响, 优化了  $S^0$ -ADN-Anammox 耦合系统适宜的 S/N; 其次, 模拟了在  $NO_3^-$ -N 完全转化为  $NO_2^-$ -N 以及不同  $S^0$  投加量的条件下,  $S^0$ -ADN 后半程与 Anammox 对  $NO_2^-$ -N 的竞争能力。

## 1 材料及方法

### 1.1 实验装置

将污泥和进水放置于封口瓶中, 封口瓶选择液面高度与瓶口距离为 3 cm 型号, 尽可能减少测样时空气进入, 避免对实验造成影响, 并置于恒温振荡器 (THZ320-JINGHONG-CHN) 保温振荡, 控制内部完全混合状态。

### 1.2 实验方法

本实验采用批次实验方法。接种污泥取自实验室长期培养一步式连续流  $S^0$ -ADN-Anammox 反应器不同运行阶段的污泥, 控制封口瓶内污泥质量浓度 (mixed liquor suspended solids, MLSS)。其中含有活性良好厌氧氨氧化菌 (anaerobic ammonia oxidation bacteria, AnAOB) 和硫自养反硝化菌 (sulfure oxidizing bacteria, SOB), 视实验情况采取清水清洗污泥 5 遍的预处理方式, 批次实验接种污泥情况和连续流反应器中对应的进出水水质如表 1 和表 2 所示。进水中投加不同底物及质量浓度, 同时添加营养物质和微量元素以维持微生物生长, 控制不同 S/N, 控制温度为 35 ℃ 及初始 pH 为 8.5±0.2。定时取样检测, 观察  $S^0$ -ADN 和 Anammox 反应情况。

表 1 批次实验接种污泥理化性质

Table 1 Physical and chemical properties of inoculated sludge in batch experiments

批次实验	连续流反应器运行时间/d	MLSS/(mg·L <sup>-1</sup> )		污泥性状		预处理
		进水	出水	进水	出水	
1	149	2 500		$S^0$ -ADN 及 Anammox 反应均良好		有
2	93	1 320		污泥中 $S^0$ 含量较高		无
3	102	1 350		污泥中 $S^0$ 含量较少		无
4	116	2 100		$S^0$ -ADN 及 Anammox 反应均良好		有

表 2 连续流反应器进出水水质

Table 2 Inlet and outlet water quality of the continuous flow reactor

连续流反应器 运行时间/d	$NH_4^+$ -N/(mg·L <sup>-1</sup> )				$NO_3^-$ -N/(mg·L <sup>-1</sup> )				$NO_2^-$ -N/(mg·L <sup>-1</sup> )				$SO_4^{2-}$ /(mg·L <sup>-1</sup> )		S/N
	进水	出水	进水	出水	进水	出水	进水	出水	进水	出水	进水	出水	进水	出水	
149	50	7	63	10	7	1	27	95	1.5						
93	50	45	60	0	2	0	20	139	3.0						
102	55	25	60	0	3	0	19	128	0.0						
116	55	4	60	0	4	0	17	93	2.0						

### 1.3 批次实验条件

本实验共设置4次批次实验,采用1000 mL规格封口瓶。设置摇床仓内温度为35 °C、转速180 r·min<sup>-1</sup>。营养液包括27 mg·L<sup>-1</sup> KH<sub>2</sub>PO<sub>4</sub>、10 mg·L<sup>-1</sup> MgCl<sub>2</sub>、10 mg·L<sup>-1</sup> CaCl<sub>2</sub>、250 mg·L<sup>-1</sup> NaHCO<sub>3</sub>, 225 mg·L<sup>-1</sup>微量元素A、337.5 mg·L<sup>-1</sup>微量元素B。以5 mol·L<sup>-1</sup> NaOH和1 mol·L<sup>-1</sup> HCl调节初始pH为8.5±0.2,每组批次实验设置3组平行样,各批次实验具体条件如表3所示。底物中NH<sub>4</sub><sup>+</sup>-N、NO<sub>2</sub><sup>-</sup>-N、NO<sub>3</sub><sup>-</sup>-N分别采用NH<sub>3</sub>Cl、NaNO<sub>2</sub>、NaNO<sub>3</sub>配制,底物质量浓度均为实际测量值,微量元素配方<sup>[17]</sup>包括微量元素A和微量元素B,微量元素A包括5 g·L<sup>-1</sup> EDTA·2Na, 5 g·L<sup>-1</sup> FeSO<sub>4</sub>·7H<sub>2</sub>O;微量元素B包括15 g·L<sup>-1</sup> EDTA·2Na、0.43 g·L<sup>-1</sup> ZnSO<sub>4</sub>·7H<sub>2</sub>O、0.24 g·L<sup>-1</sup> CoCl<sub>2</sub>·6H<sub>2</sub>O、0.99 g·L<sup>-1</sup> MnCl<sub>2</sub>·4H<sub>2</sub>O、0.25 g·L<sup>-1</sup> CuSO<sub>4</sub>·5H<sub>2</sub>O、0.22 g·L<sup>-1</sup> Na<sub>2</sub>MoO<sub>4</sub>·2H<sub>2</sub>O、0.19 g·L<sup>-1</sup> NiCl<sub>2</sub>·6H<sub>2</sub>O、0.014 g·L<sup>-1</sup> H<sub>3</sub>BO<sub>3</sub>。

表3 批次实验条件  
Table 3 Batch experimental conditions

批次实验	配水水质	底物质量浓度/(mg·L <sup>-1</sup> )			S/N	运行时间/h
		NH <sub>4</sub> <sup>+</sup> -N/(mg·L <sup>-1</sup> )	NO <sub>3</sub> <sup>-</sup> -N/(mg·L <sup>-1</sup> )	NO <sub>2</sub> <sup>-</sup> -N/(mg·L <sup>-1</sup> )		
1	自来水	60	66	0	0.8	72
		60	66	0	1.0	72
		60	66	0	2.0	72
2	连续流反应器出水	45	0	60	较高	48
3	连续流反应器出水	47	0	48	较低	48
4	自来水	60	0	66	0.0	72
		60	0	66	0.5	72
		60	0	66	1.1	72
		60	0	66	4.0	72

### 1.4 测定方法

常规分析项目。每隔12 h将封口瓶静置2 min,用胶头滴管吸取上清液5 mL,经过中速定性滤纸过滤后检测NH<sub>4</sub><sup>+</sup>-N、NO<sub>3</sub><sup>-</sup>-N、NO<sub>2</sub><sup>-</sup>-N、SO<sub>4</sub><sup>2-</sup>等指标。NH<sub>4</sub><sup>+</sup>-N、NO<sub>2</sub><sup>-</sup>-N、NO<sub>3</sub><sup>-</sup>-N均采用标准方法<sup>[18]</sup>测定; SO<sub>4</sub><sup>2-</sup>经过0.22 μm聚醚砜注射器过滤头(Therom ScientificTM)过滤,采用电导检测器(IC-900, DIONEX, USA)离子色谱法测定;pH采用pH计(PHS-3E, SINCE, CHN)监测;MLSS采用污泥浓度计(TSS-PORATABLE, HACH, USA)监测,并用标准方法<sup>[18]</sup>辅助校准。

### 1.5 计算方法

NO<sub>3</sub><sup>-</sup>-N、NO<sub>2</sub><sup>-</sup>-N、NH<sub>4</sub><sup>+</sup>-N去除速率根据式(4)进行计算;Anammox在NO<sub>2</sub><sup>-</sup>-N去除过程中贡献比根据式(5)进行计算;SADN后半程在NO<sub>2</sub><sup>-</sup>-N去除过程中贡献比根据式(6)计算;S<sup>0</sup>ADN前半程SO<sub>4</sub><sup>2-</sup>产生浓度根据式(7)计算;S<sup>0</sup>ADN后半程SO<sub>4</sub><sup>2-</sup>产生浓度根据式(8)计算;S<sup>0</sup>ADN全程SO<sub>4</sub><sup>2-</sup>产生浓度根据式(9)计算;Anammox去除NH<sub>4</sub><sup>+</sup>-N需要的NO<sub>2</sub><sup>-</sup>-N浓度根据式(10)计算。

$$R = \frac{\Delta C}{\Delta T} \quad (4)$$

式中: R为污染物去除速率, kg·(m<sup>3</sup>·d)<sup>-1</sup>; ΔC表示氮素转化量, mg·L<sup>-1</sup>; ΔT表示反应时间, d。

$$P_A = \frac{1.32 \Delta C_{NH_4^+-N}}{\Delta C_{NO_2^- - N}} \quad (5)$$

式中:P<sub>A</sub>表示Anammox在NO<sub>2</sub><sup>-</sup>-N去除过程中贡献比,%;ΔC<sub>NH<sub>4</sub><sup>+</sup>-N</sub>表示NH<sub>4</sub><sup>+</sup>-N转化量,mg·L<sup>-1</sup>;ΔC<sub>NO<sub>2</sub><sup>-</sup>-N</sub>表示NO<sub>2</sub><sup>-</sup>-N转化量,mg·L<sup>-1</sup>;ΔC<sub>NO<sub>3</sub><sup>-</sup>-N</sub>表示NO<sub>3</sub><sup>-</sup>-N转化量,mg·L<sup>-1</sup>。

$$P_{S2} = 1 - P_A \quad (6)$$

式中:  $P_{S2}$  表示 SADN 后半程在  $\text{NO}_2^-$ -N 去除过程中贡献比, %。

$$C_{S1} = 0.762 \times 1.32\Delta C_{\text{NH}_4^+ - \text{N}} \quad (7)$$

式中:  $C_{S1}$  表示  $S^0$ ADN 前半程  $\text{SO}_4^{2-}$  产生浓度,  $\text{mg} \cdot \text{L}^{-1}$ 。

$$C_{S2} = 1.143(\Delta C_{\text{NO}_2^- - \text{N}} - 1.32\Delta C_{\text{NH}_4^+ - \text{N}}) \quad (8)$$

式中:  $C_{S2}$  表示  $S^0$ ADN 后半程  $\text{SO}_4^{2-}$  产生浓度,  $\text{mg} \cdot \text{L}^{-1}$ 。

$$C_S = 1.905(\Delta C_{\text{NO}_3^- - \text{N}} - 1.32\Delta C_{\text{NH}_4^+ - \text{N}}) \quad (9)$$

式中:  $C_S$  表示  $S^0$ ADN 全程  $\text{SO}_4^{2-}$  产生浓度,  $\text{mg} \cdot \text{L}^{-1}$ 。

$$C_{\text{NO}_2^- - \text{N}} = 1.32\Delta C_{\text{NH}_4^+ - \text{N}} \quad (10)$$

式中:  $C_{\text{NO}_2^- - \text{N}}$  表示 Anammox 去除  $\text{NH}_4^+$ -N 需要的  $\text{NO}_2^-$ -N 浓度,  $\text{mg} \cdot \text{L}^{-1}$ 。

## 2 结果与讨论

### 2.1 S/N 对 $S^0$ ADN-Anammox 耦合的影响分析

$\text{NH}_4^+$ -N、 $\text{NO}_3^-$ -N 去除和  $\text{NO}_2^-$ -N 与  $\text{SO}_4^{2-}$  的生成情况如图 1 所示。在  $S^0$ ADN-Anammox 系统中,  $\text{NH}_4^+$ -N 并未被快速去除, 随着  $\text{NO}_2^-$ -N 的逐渐累积,  $\text{NH}_4^+$ -N 去除率显著提升; 而在运行初期,  $\text{NO}_3^-$ -N 发生了明显转化。当  $S/N=0.8$  时(图 1(a)),  $\text{NH}_4^+$ -N 和  $\text{NO}_3^-$ -N 质量浓度均呈下降趋势, 72 h 后分别剩余 22  $\text{mg} \cdot \text{L}^{-1}$  和 10  $\text{mg} \cdot \text{L}^{-1}$ ,  $\text{NH}_4^+$ -N 和  $\text{NO}_3^-$ -N 最高去除速率分别为 0.023  $\text{kg} \cdot (\text{m}^3 \cdot \text{d})^{-1}$  和 0.026  $\text{kg} \cdot (\text{m}^3 \cdot \text{d})^{-1}$ , 在此过程中  $\text{NO}_2^-$ -N 累积最高达 9  $\text{mg} \cdot \text{L}^{-1}$ ,  $\text{SO}_4^{2-}$  增加至 50  $\text{mg} \cdot \text{L}^{-1}$ 。当  $S/N=1$  时(图 1(b)),  $\text{NH}_4^+$ -N 和  $\text{NO}_3^-$ -N 均被显著去除, 72 h 后  $\text{NH}_4^+$ -N 剩余 14  $\text{mg} \cdot \text{L}^{-1}$ , 而  $\text{NO}_3^-$ -N 在 48 h 后被完全去除,  $\text{NH}_4^+$ -N 和  $\text{NO}_3^-$ -N 去除速率最高达 0.042  $\text{kg} \cdot (\text{m}^3 \cdot \text{d})^{-1}$  和 0.045  $\text{kg} \cdot (\text{m}^3 \cdot \text{d})^{-1}$ ,  $\text{NO}_2^-$ -N 累积最高达 22  $\text{mg} \cdot \text{L}^{-1}$ ,  $\text{SO}_4^{2-}$  共增加 60  $\text{mg} \cdot \text{L}^{-1}$ 。当  $S/N=2$  时(图 1(c)),  $\text{NO}_3^-$ -N 明显去除, 而  $\text{NH}_4^+$ -N 去除效果不佳, 72 h 后  $\text{NH}_4^+$ -N 仍剩余 31  $\text{mg} \cdot \text{L}^{-1}$ ,  $\text{NO}_3^-$ -N 则在 36 h 完全去除,  $\text{NO}_3^-$ -N 去除速率最高达 0.049  $\text{kg} \cdot (\text{m}^3 \cdot \text{d})^{-1}$ ,  $\text{NH}_4^+$ -N 去除速率最高仅为 0.019  $\text{kg} \cdot (\text{m}^3 \cdot \text{d})^{-1}$ ,  $\text{NO}_2^-$ -N 累积情况与  $S/N=1$  时类似, 最高为 24  $\text{mg} \cdot \text{L}^{-1}$ ,  $\text{SO}_4^{2-}$  共增加约 97  $\text{mg} \cdot \text{L}^{-1}$ 。

上述实验结果表明, 当  $S/N$  为 1 时, Anammox 充分反应, 耦合系统脱氮性能较好; 而在  $S/N$  不足时,  $S^0$ ADN 前半程无法提供充足  $\text{NO}_2^-$ -N 底物, 导致 Anammox 无法充分反应;  $S/N$  过高,  $S^0$ ADN 前半程快速将  $\text{NO}_3^-$ -N 转化为  $\text{NO}_2^-$ -N, 但 Anammox 反应受到抑制。

批次实验 1 以  $\text{NH}_4^+$ -N 和  $\text{NO}_3^-$ -N 作为底物, 在  $S^0$ ADN-Anammox 条件下探究适宜的  $S/N$ 。当

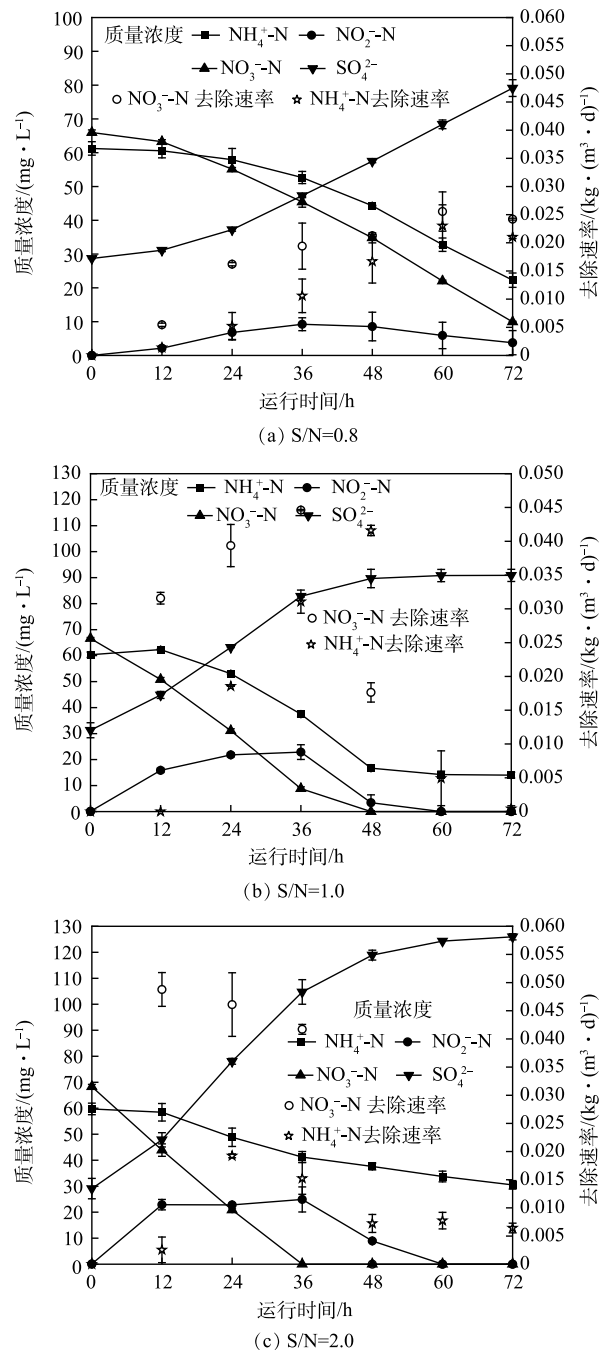


图 1 不同  $S/N$  条件下  $S^0$ ADN-Anammox 系统耦合效果

Fig. 1 Coupling effect of  $S^0$ ADN-Anammox system under different  $S/N$  conditions

S/N 充足时,  $S^0$ ADN 前半程会快速提供足量的  $NO_2^-$ -N 底物,  $S^0$ ADN 前半程没有完成时, Anammox 反应仍具备一定  $NO_2^-$ -N 竞争能力。这与 ZHOU 等<sup>[19]</sup>研究结果一致, 他们发现, 当存在  $NO_3^-$ -N 时,  $S^0$ 往往优先与  $NO_3^-$ -N 反应生成  $NO_2^-$ -N,  $S^0$ ADN 后半程速率很低。故  $S^0$ ADN-Anammox 系统耦合情况可以根据  $S^0$ ADN 前半程产生的  $NO_2^-$ -N 分别通过 Anammox 和  $S^0$ ADN 后半程去除的占比情况进行判断, 根据式(5)和式(6)计算可得, 系统中通过 Anammox 和  $S^0$ ADN 后半程去除的  $NO_2^-$ -N 占比情况如图 2 所示。

由图 2 可以看出, 当 S/N 由 0.8 增加至 2,  $P_{S2}$  由 1% 升至 44%, 而  $P_A$  由 99% 下降至 56%, 总氮去除率在 S/N=1 时最高, 可达 89%, 而 S/N 为 0.8 和 2 时, 总氮去除率仅为 72% 和 76%。根据式(7)~(9)计算可得, 批次实验 1 中在 S/N 分别为 0.8、1.0、2.0 的实验组中, 理论上用于将 Anammox 产生的  $NO_3^-$ -N 转化为  $NO_2^-$ -N 所需的  $SO_4^{2-}$  和通过  $S^0$ ADN 后半程去除  $NO_2^-$ -N 所产生的  $SO_4^{2-}$  质量浓度总和分别为 50、56 和 86 mg·L<sup>-1</sup>, 与实际测量值近似, 这可验证上述结果的准确性。数据分析结果表明, 当 S/N=1 时, Anammox 反应充分, 系统总氮去除率较高, 当 S/N 较低时,  $S^0$  溶解产生可被微生物利用的多硫化物速率较慢, 限制  $S^0$ ADN 前半程反应速率, 即  $NO_2^-$ -N 生成速率降低, 故 Anammox 虽然可以获得系统中大部分  $NO_2^-$ -N 进行反应, 但  $NO_2^-$ -N 质量浓度不足以将  $NH_4^+$ -N 完全去除,  $NO_3^-$ -N 和  $NH_4^+$ -N 均未完全去除, 导致系统总氮去除率较低。S/N 过高则会导致大量  $NO_2^-$ -N 通过  $S^0$ ADN 后半程去除, Anammox 反应占比下降, 最终导致系统总氮去除率降低。

综上所述, 在批次实验中, S/N=1 更有利于  $S^0$ ADN-Anammox 系统的高效运行, 由于  $S^0$  参与反应需要溶解的过程, 系统中需要保存一定量固态  $S^0$  以确保具有生物有效性的多硫化物供微生物进行  $S^0$ ADN 前半程反应<sup>[20-21]</sup>, 因此, 该 S/N 控制值略高于理论值; 而 S/N 过高则会导致 Anammox 反应受到抑制, 进而不利于  $NH_4^+$ -N 的去除。

在 HUO 等<sup>[12]</sup>的研究中, UASB 反应器内部完全依靠水流作用进行泥水混合, 系统内会因重力不均出现分层现象, 较重的  $S^0$  颗粒大部分沉在反应器底部形成沉淀, 无法与微生物充分接触并参与反应。LI 等<sup>[22]</sup>在连续流厌氧发酵罐中以 S/N 为 2.1 启动  $S^0$ ADN-Anammox 系统, 当  $NO_3^-$ -N 完全转化后, 仍剩余 S/N 约为 1.34, 由于实验装置没有泥水分离装置, 发酵罐内污泥携带  $S^0$  随出水持续排出, 经外接沉淀池沉淀后, 再用蠕动泵将污泥送回发酵罐, 此时部分  $S^0$  以溶解态存在于上清液或小颗粒态漂浮在表面没有被抽入发酵罐, 因此实际重返发酵罐的  $S^0$  远低于 1.34。这些研究中虽然投入大量  $S^0$ , 但实际只有小部分参与反应, 因此没有表现出 S/N 过高对 Anammox 反应的抑制现象。

## 2.2 $S^0$ 对 $S^0$ ADN 后半程与 Anammox 反应的底物竞争影响分析

在  $S^0$ ADN-Anammox 耦合系统中, 当系统中  $NO_3^-$ -N 被  $S^0$ ADN 前半程转化后, Anammox 反应与  $S^0$ ADN 后半程竞争共同底物  $NO_2^-$ -N。为考察  $S^0$  的含量对这一竞争过程的影响, 进行了 3 次批次实验。批次实验 2 和 3 的进水中仅含  $NH_4^+$ -N 和  $NO_2^-$ -N, 接种污泥分别取自同一连续流  $S^0$ ADN-Anammox 反应器的不同运行阶段, 中间间隔 9 d, 批次实验 2 的污泥中  $S^0$  含量远高于批次实验 3。2 次实验中  $NH_4^+$ -N、 $NO_2^-$ -N 和  $NO_3^-$ -N 的转化情况如图 3 所示。

当  $S^0$  含量较高时(图 3(a)), 反应初期,  $NO_2^-$ -N 质量浓度显著下降, 48 h 后  $NO_2^-$ -N 被完全去除;  $NO_2^-$ -N 去除速率在前 24 h 升至  $0.050 \text{ kg} \cdot (\text{m}^3 \cdot \text{d})^{-1}$ , 之后开始逐渐下降, 至 48 h 仅为  $0.002 \text{ kg} \cdot (\text{m}^3 \cdot \text{d})^{-1}$ 。而  $NH_4^+$ -N 质量浓度始终保持在  $45 \text{ mg} \cdot \text{L}^{-1}$  左右, 几乎没有发生转化,  $NH_4^+$ -N 去除速率始终处于  $0.004 \text{ kg} \cdot (\text{m}^3 \cdot \text{d})^{-1}$  以下。在这过程中始终未检测到  $NO_3^-$ -N。

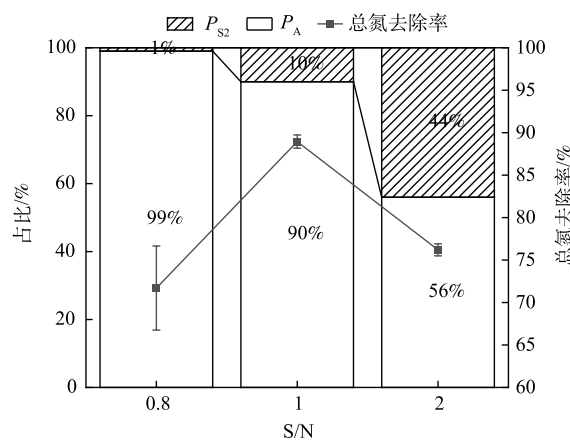
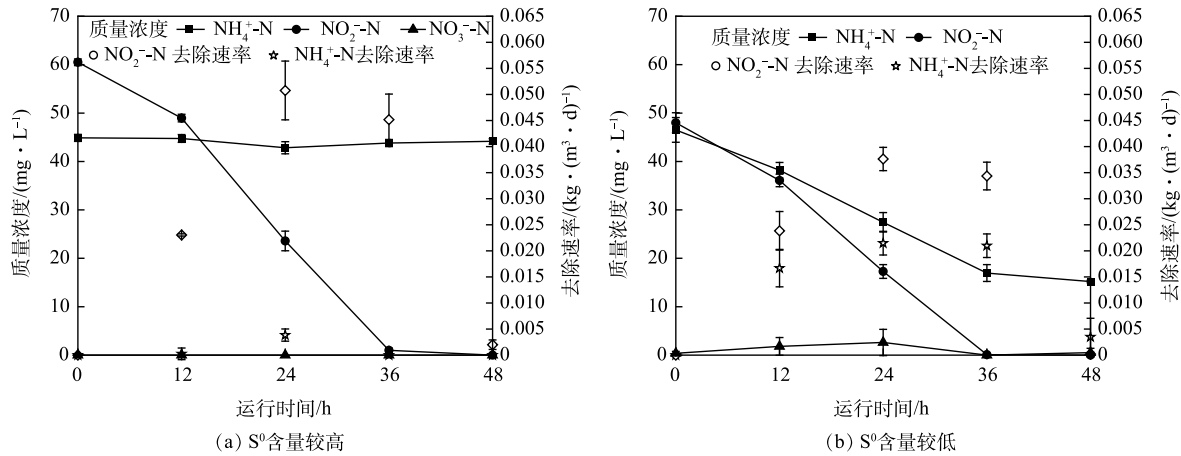


图 2 批次实验 1 Anammox 和  $S^0$ ADN 后半程去除  $NO_2^-$ -N 占比及总氮去除率情况

Fig. 2  $NO_2^-$ -N removal proportion and total nitrogen removal efficiency in Anammox and the second half of the  $S^0$ ADN in process batch experiment 1

图3 不同S<sup>0</sup>含量下S<sup>0</sup>ADN后半程与Anammox底物转化情况Fig. 3 Transformation of substrate in the second half S<sup>0</sup>ADN and Anammox under different S<sup>0</sup> contents

当S<sup>0</sup>含量较低时(图3(b)),在反应48 h后,NH<sub>4</sub><sup>+</sup>-N下降至15 mg·L<sup>-1</sup>,其去除速率上升至0.021 kg·(m<sup>3</sup>·d)<sup>-1</sup>,而后逐渐下降至0.003 kg·(m<sup>3</sup>·d)<sup>-1</sup>。NO<sub>2</sub><sup>-</sup>-N经过36 h后被完全去除,其转化速率在24 h升高至0.038 kg·(m<sup>3</sup>·d)<sup>-1</sup>。随着反应进行,NO<sub>3</sub><sup>-</sup>-N质量浓度在前24 h逐渐升高至2.7 mg·L<sup>-1</sup>,36 h后又降为0 mg·L<sup>-1</sup>。在整个实验过程中,NO<sub>2</sub><sup>-</sup>-N、NH<sub>4</sub><sup>+</sup>-N分别去除了48 mg·L<sup>-1</sup>和32 mg·L<sup>-1</sup>。

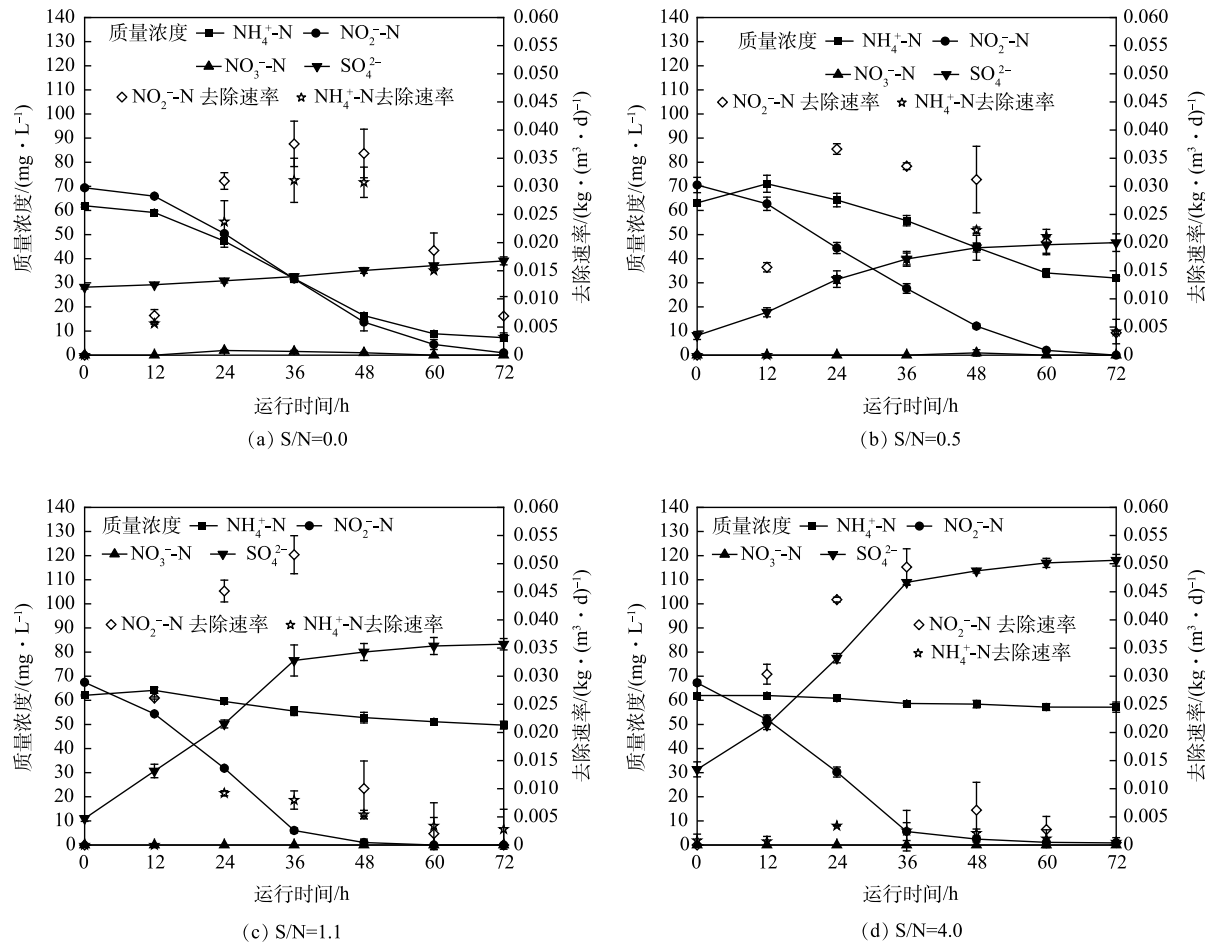
上述实验结果表明,在高S<sup>0</sup>含量的条件下,仅有S<sup>0</sup>ADN后半程反应发生,而无Anammox反应发生;而在低S<sup>0</sup>含量条件下,Anammox反应在NO<sub>2</sub><sup>-</sup>-N、NH<sub>4</sub><sup>+</sup>-N的去除过程中表现明显的主导作用。这可能是S<sup>0</sup>对S<sup>0</sup>ADN后半程和Anammox的底物竞争产生了明显的影响。

为进一步明确不同S<sup>0</sup>含量对上述2个反应过程的影响程度,进行了批次实验4。将连续流反应器中取出的污泥用清水清洗5遍,以去除污泥中存留的S<sup>0</sup>。将等量的污泥加入4个封口瓶中,并投加不同的S<sup>0</sup>(S/N分别为0、0.5、1.1和4),NH<sub>4</sub><sup>+</sup>-N和NO<sub>2</sub><sup>-</sup>-N的初始质量浓度均分别控制在60 mg·L<sup>-1</sup>和66 mg·L<sup>-1</sup>左右。实验中NO<sub>2</sub><sup>-</sup>-N、NH<sub>4</sub><sup>+</sup>-N去除和NO<sub>3</sub><sup>-</sup>-N与SO<sub>4</sub><sup>2-</sup>的生成转化情况如图4所示。如图4(a)所示,当S/N=0时,NH<sub>4</sub><sup>+</sup>-N和NO<sub>2</sub><sup>-</sup>-N被明显去除,在反应的前36 h,NH<sub>4</sub><sup>+</sup>-N和NO<sub>2</sub><sup>-</sup>-N去除速率持续上升至0.031 kg·(m<sup>3</sup>·d)<sup>-1</sup>和0.037 kg·(m<sup>3</sup>·d)<sup>-1</sup>,反应过程中发现NO<sub>3</sub><sup>-</sup>-N生成,24~48 h NO<sub>3</sub><sup>-</sup>-N质量浓度维持在1~2 mg·L<sup>-1</sup>,SO<sub>4</sub><sup>2-</sup>在整个过程增加了11 mg·L<sup>-1</sup>,NH<sub>4</sub><sup>+</sup>-N和NO<sub>2</sub><sup>-</sup>-N分别去除了55 mg·L<sup>-1</sup>和68 mg·L<sup>-1</sup>。如图4(b)所示,当S/N增至0.5时,NO<sub>2</sub><sup>-</sup>-N去除情况不变,NH<sub>4</sub><sup>+</sup>-N在72 h后仍剩余32 mg·L<sup>-1</sup>,NH<sub>4</sub><sup>+</sup>-N去除速率略微下降至0.022 kg·(m<sup>3</sup>·d)<sup>-1</sup>。过程中并未检测出NO<sub>3</sub><sup>-</sup>-N,SO<sub>4</sub><sup>2-</sup>在整个批次实验中增加了39 mg·L<sup>-1</sup>,NH<sub>4</sub><sup>+</sup>-N、NO<sub>2</sub><sup>-</sup>-N分别去除了31 mg·L<sup>-1</sup>和70 mg·L<sup>-1</sup>。如图4(c)所示,继续增加S/N至1.1时,NO<sub>2</sub><sup>-</sup>-N去除效果良好,而NH<sub>4</sub><sup>+</sup>-N质量浓度下降缓慢,72 h后仍剩余50 mg·L<sup>-1</sup>,NH<sub>4</sub><sup>+</sup>-N去除速率低于0.008 kg·(m<sup>3</sup>·d)<sup>-1</sup>,过程中并未检测出NO<sub>3</sub><sup>-</sup>-N。SO<sub>4</sub><sup>2-</sup>在反应过程中增加了72 mg·L<sup>-1</sup>,NH<sub>4</sub><sup>+</sup>-N和NO<sub>2</sub><sup>-</sup>-N分别去除12 mg·L<sup>-1</sup>和67 mg·L<sup>-1</sup>。如图4(d)所示,当S/N继续增加至4时,72 h后NH<sub>4</sub><sup>+</sup>仅去除了5 mg·L<sup>-1</sup>,NO<sub>2</sub><sup>-</sup>-N被完全去除且去除速率最高达0.049 kg·(m<sup>3</sup>·d)<sup>-1</sup>。过程中同样未检测出NO<sub>3</sub><sup>-</sup>-N,SO<sub>4</sub><sup>2-</sup>共增加了87 mg·L<sup>-1</sup>。

批次实验4结果表明,当耦合系统中S<sup>0</sup>ADN前半程将NO<sub>3</sub><sup>-</sup>-N转化后,S/N极低情况下,Anammox可以在NO<sub>2</sub><sup>-</sup>-N和NH<sub>4</sub><sup>+</sup>-N的去除中占据主导地位,随着S/N增加,Anammox反应情况逐渐恶化,当S/N为0.5、1.1时,NH<sub>4</sub><sup>+</sup>-N去除量分别减少了24 mg·L<sup>-1</sup>和43 mg·L<sup>-1</sup>,当S/N为4时,主要发生S<sup>0</sup>ADN后半程反应,Anammox已无法正常进行。

批次实验2和3中的底物转化情况表明,实验中NH<sub>4</sub><sup>+</sup>-N和NO<sub>2</sub><sup>-</sup>-N不同的转化情况,不是由于2次实验接种污泥中Anammox数量不同所致,而是由于不同S<sup>0</sup>含量对Anammox的转化作用所致。

通过批次实验4,探究不同S<sup>0</sup>含量对S<sup>0</sup>ADN后半程与Anammox竞争的影响。结果表明,当耦合系统中S<sup>0</sup>ADN前半程将NO<sub>3</sub><sup>-</sup>-N转化完成,随着S/N增加,更多NO<sub>2</sub><sup>-</sup>-N会通过S<sup>0</sup>ADN后半程去除,而并没有通过Anammox途径去除,导致NH<sub>4</sub><sup>+</sup>-N去除效果恶化。根据式(5)和式(6)计算可得批次实验4中P<sub>S2</sub>和

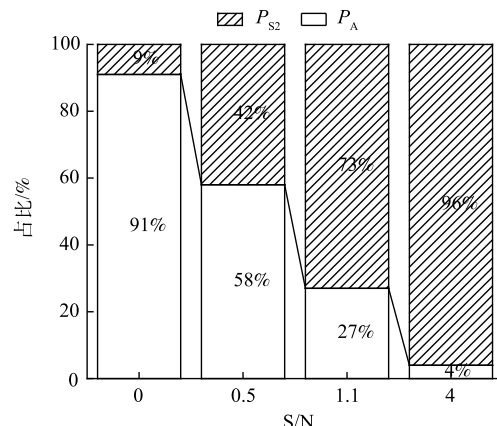
图4 不同S/N条件下S<sup>0</sup>ADN后半程与Anammox反应情况Fig. 4 The reactions of the second half S<sup>0</sup>ADN and Anammox under different S/N conditions

$P_A$ 的分布情况，结果如图5所示。

由图5可以看出，随着系统中S/N由0增加至4， $P_{S_2}$ 逐渐由9%升至96%，而 $P_A$ 从91%下降至4%，根据式(7)~(9)计算可得，在批次实验4中，当S/N分别为0.0、0.5、1.1、4.0的实验组中，理论上产生的 $SO_4^{2-}$ 质量浓度总和分别为26、37、62和77 mg·L<sup>-1</sup>，与实际测量值近乎一致，可验证上述结果的准确性。

结果表明，当S<sup>0</sup>ADN-Anammox系统中 $NO_3^-$ -N通过S<sup>0</sup>ADN前半程快速转化后，仅存在 $NO_2^-$ -N和 $NH_4^+$ -N时，S<sup>0</sup>的存在会加快S<sup>0</sup>ADN后半程对 $NO_2^-$ -N的利用速率，从而对Anammox过程产生抑制作用，且S/N越高，S<sup>0</sup>ADN后半程获得的 $NO_2^-$ -N越多，Anammox越难发挥作用。FU等<sup>[23]</sup>在USAB反应器中启动S<sup>0</sup>ADN-Anammox系统，将进水中 $NO_3^-$ -N换为 $NO_2^-$ -N，过量投加

S<sup>0</sup>， $NO_2^-$ -N去除率为100%， $NH_4^+$ -N去除率仅为50%，将近50% $NO_2^-$ -N通过S<sup>0</sup>ADN后半程去除，说明当S<sup>0</sup>存在时，确实会导致SADN后半程竞争更多的 $NO_2^-$ -N底物。

图5 批次实验4中Anammox和S<sup>0</sup>ADN后半程去除 $NO_2^-$ -N占比情况Fig. 5 The proportion of  $NO_2^-$ -N removal in Anammox and the second half S<sup>0</sup>ADN in batch experiment 4

### 3 结论

1) 采用略高于理论值的 S/N, 使系统中固态 S<sup>0</sup> 存量满足多硫化物溶解的需求, 即可保证 S<sup>0</sup>ADN-Anammox 耦合系统有良好的性能。批次实验的结果表明, S/N 为 1 时, 系统的总氮去除率可达 89%, 其中 NH<sub>4</sub><sup>+</sup>-N 去除率为 77%, NO<sub>2</sub><sup>-</sup>-N 去除率为 100%。

2) 在进水含 NO<sub>2</sub><sup>-</sup>-N 和 NH<sub>4</sub><sup>+</sup>-N 的实验结果表明, S<sup>0</sup> 含量会明显增强 S<sup>0</sup>ADN 后半程对 NO<sub>2</sub><sup>-</sup>的竞争能力。因而 S/N 过高会抑制 S<sup>0</sup>ADN-Anammox 耦合系统中 Anammox 过程对底物的竞争能力, 降低 NH<sub>4</sub><sup>+</sup>-N 去除效果。

### 参考文献

- [1] ZHANG M, WANG S Y, JI B, et al. Towards mainstream deammonification of municipal wastewater: Partial nitrification-anammox versus partial denitrification-anammox[J]. *Science of the Total Environment*, 2019, 692: 393-401.
- [2] TOMASZEWSKI M, CEMA G, ZIEMBÍNSKA-BUCZYŃSKA A. Influence of temperature and pH on the anammox process: A review and meta-analysis[J]. *Chemosphere*, 2017, 182: 203-214.
- [3] WETT B, OMARI A A, PODMIRSEG S M, et al. Going for mainstream deammonification from bench to full scale for maximized resource efficiency[J]. *Water Science and Technology*, 2013, 68(2): 283-289.
- [4] GRAAF A A V D, BRUIJN P D, ROBERTSON L A, et al. Autotrophic growth of anaerobic ammonium-oxidizing micro-organisms in a fluidized bed reactor[J]. *Microbiology*, 1996, 142(8): 2187-2196.
- [5] XU D D, YING S Y, WANG Y H, et al. A novel SAD process: Match of anammox and denitrification[J]. *Water Research*, 2021, 193: 116874-116874.
- [6] CUI B, YANG Q, LIU X H, et al. Achieving partial denitrification-anammox in biofilter for advanced wastewater treatment[J]. *Environment International*, 2020, 138: 105612-105612.
- [7] LIU H G, DONG W Y, ZHAO Z Z, et al. Anammox-based technologies for municipal sewage nitrogen removal: Advances in implementation strategies and existing obstacles[J]. *Journal of Water Process Engineering*, 2023, 55: 104090-104090.
- [8] Li Y, Chen B H, Zhang X L, et al. Elemental sulfur autotrophic partial denitrification (S<sup>0</sup>-PDN) with high pH and free ammonia control strategy for low-carbon wastewater: From performance to microbial mechanism. *Chemical Engineering Journal*. 2023; 474: 145419-145419.
- [9] WANG T, LI X, WANG H, et al. Sulfur autotrophic denitrification as an efficient nitrogen removal method for wastewater treatment towards lower organic requirement: A review[J]. *Water Research*, 2023, 245: 120569-120569.
- [10] SUN Y M, NEMATI M. Evaluation of sulfur-based autotrophic denitrification and denitritation for biological removal of nitrate and nitrite from contaminated waters[J]. *Bioresource Technology*, 2012, 114: 207-216.
- [11] CHEN F M, LI X, YUAN Y, et al. An efficient way to enhance the total nitrogen removal efficiency of the Anammox process by S<sup>0</sup>-based short-cut autotrophic denitrification[J]. *Journal of Environmental Sciences*, 2019, 81: 214-224.
- [12] HUO D, DANG Y, SUN D Z, et al. Efficient nitrogen removal from leachate by coupling Anammox and sulfur-siderite-driven denitrification[J]. *Science of The Total Environment*, 2022, 829: 154683-154683.
- [13] POKORNA D, ZABRANSKA J. Sulfur-oxidizing bacteria in environmental technology[J]. *Biotechnology Advances*, 2015, 33(6): 1246-1259.
- [14] ZHANG K, KANG T L, YAO S, et al. A novel coupling process with partial nitritation-anammox and short-cut sulfur autotrophic denitrification in a single reactor for the treatment of high ammonium-containing wastewater[J]. *Water Research*, 2020, 180: 115813.
- [15] CUI Y X, GUO G, EKAMA G A, et al. Elucidating the biofilm properties and biokinetics of a sulfur-oxidizing moving-bed biofilm for mainstream nitrogen removal[J]. *Water Research*, 2019, 162: 246-257.
- [16] CHEN F M, LI X, GU C D, et al. Selectivity control of nitrite and nitrate with the reaction of S<sup>0</sup> and achieved nitrite accumulation in the sulfur autotrophic denitrification process[J]. *Bioresource Technology*, 2018, 266: 211-219.
- [17] WANG T, GUO J B, SONG Y Y, et al. Efficient nitrogen removal in separate coupled-system of anammox and sulfur autotrophic denitrification with a nitrification side-branch under substrate fluctuation[J]. *Science of the Total Environment*, 2019, 696: 133929-133929.
- [18] AMERICAN PUBLIC HEALTH ASSOCIATION (APHA) A W W A A, WATER ENVIRONMENT FEDERATION (AEF). Standard methods for the examination of water and wastewater. [J]. Washington, DC, USA, 2005.
- [19] ZHOU W L, SUN Y J, WU B T, et al. Autotrophic denitrification for nitrate and nitrite removal using sulfur-limestone[J]. *Journal of Environmental Sciences*, 2011, 23(11): 1761-1769.
- [20] HUILINIR C, ACOSTA L, YANEZ D, et al. Elemental sulfur-based autotrophic denitrification in stoichiometric S(0)/N ratio: Calibration and validation of a kinetic model[J]. *Bioresource Technology*, 2020, 307: 123229-123229.
- [21] WANG Y, BOTT C, NERENBERG R. Sulfur-based denitrification: Effect of biofilm development on denitrification fluxes[J]. *Water Research*, 2016, 100: 184-193.
- [22] LI X, YUAN Y, HUANG Y, et al. Simultaneous removal of ammonia and nitrate by coupled S<sup>0</sup>-driven autotrophic denitrification and Anammox process in fluorine-containing semiconductor wastewater[J]. *Science of the Total Environment*, 2019, 661: 235-242.
- [23] FU K M, ZENG Z X, HUANG S W. Effect of sulfur autotrophic denitrification sludge on the start-up characteristics of anaerobic ammonia oxidation[J]. *Water*, 2023, 15(7): 1275-1275.

(责任编辑: 曲娜)

## Effect of S/N on nitrogen transformation in sulfur autotrophic denitrification coupled anaerobic ammonium oxidation reaction

LI Yuzhe<sup>1,2</sup>, GU Xiaodan<sup>1,2</sup>, HUANG Yong<sup>1,2,\*</sup>

1. School of Environmental Science and Engineering, Suzhou University of Science and Technology, Suzhou 215009, China;  
2. Institute of Environmental Biology, Suzhou University of Science and Technology, Suzhou 215009, China

\*Corresponding author, E-mail: [yhuang@mail.usts.edu.cn](mailto:yhuang@mail.usts.edu.cn)

**Abstract** There is a common problem of high S/N in the S<sup>0</sup>-based sulfur autotrophic denitrification coupled anaerobic ammonium oxidation (sulfur autotrophic denitrification anammox, S<sup>0</sup>ADN-Anammox) process, resulting in the waste of S<sup>0</sup>. Thus, batch experiments were conducted to optimize the appropriate S/N in the sulfur autotrophic denitrification coupled anaerobic ammonium oxidation system when S<sup>0</sup> was taken as the electron donor without considering the loss of S<sup>0</sup>. And the first half stage of the complete reaction of S<sup>0</sup>ADN was simulated through the substrate control strategy, then in the system environment of the second half stage of S<sup>0</sup>ADN and Anammox, their competitive ability for NO<sub>2</sub><sup>-</sup>-N in the presence of different S<sup>0</sup> was discussed. The results showed that the S<sup>0</sup>ADN-Anammox system had a different denitrification performance at different S<sup>0</sup> dosage. When S/N=1, the total nitrogen removal rate of the S<sup>0</sup>ADN-Anammox system was high and reached 89%, of which the removal rates of NH<sub>4</sub><sup>+</sup>-N and NO<sub>3</sub><sup>-</sup>-N were 77% and 100%, respectively; when only NO<sub>2</sub><sup>-</sup>-N and NH<sub>4</sub><sup>+</sup>-N existed, the higher the S<sup>0</sup> mass concentration, the less NO<sub>2</sub><sup>-</sup>-N available to Anammox, and the competitive ability for NO<sub>2</sub><sup>-</sup>-N in the second half of S<sup>0</sup>ADN was stronger than Anammox, and too high S/N could affect the NH<sub>4</sub><sup>+</sup>-N removal effect.

**Keywords** S<sup>0</sup>ADN-Anammox; the impact of S/N; substrate competition relationship